



ŚWIATOWIT Supplement Series B: Barbaricum, vol. 14

ŚWIATOWIT Supplement Series B: Barbaricum, vol. 14

ed. Adam Cieśliński, Bartosz Kontny, Paweł Szymański

Wydział Archeologii Uniwersytetu Warszawskiego
Katedra Archeologii Barbaricum i Prowincji Rzymskich

BARBARICUM

Tom 14

ANNA MISTEWICZ, ANDRZEJ MACIAŁOWICZ, MARCIN WOŹNIAK

DĄBEK, STAN. 9 – NEKROPOLA KULTUR PRZEWORSKIEJ
I WIELBARKIEJ NA PÓŁNOCNYM MAZOWSZU

DĄBEK, SITE 9 – A PRZEWORSK AND WIELBARK CULTURE
CEMETERY IN NORTHERN MAZOVIA

Warszawa 2021

Faculty of Archaeology, University of Warsaw
Światowit Supplement Series B: Barbaricum
Volume 14

Redakcja naukowa serii | Series edited by
Adam Cieśliński, Bartosz Kontny, Paweł Szymański

Redakcja tomu | Volume edited by
Anna Juga-Szymańska, Andrzej Maciałowicz

Recenzenci | Reviewers
Dr hab. Jacek Andrzejowski; dr hab. Tomasz Bochnak, prof. UR

Tłumaczenie | Translation
Kinga Brzezińska

Opracowanie graficzne i projekt okładki | Graphic & cover design
Agata Wiśniewska

Skład i łamanie | Layout & typesetting
Tomasz Szmit

Dofinansowano ze środków Ministra Kultury i Dziedzictwa Narodowego
pochodzących z Funduszu Promocji Kultury



**Ministerstwo
Kultury
i Dziedzictwa
Narodowego**

ISSN 2720-0817
ISBN 978-83-66210-15-8



**UNIwersYTET
WARSZAWSKI**



**WYDZIAŁ
ARCHEOLOGII**
Uniwersytet
Warszawski

© Autorzy | Authors
© Wydział Archeologii Uniwersytetu Warszawskiego
ul. Krakowskie Przedmieście 26/28; PL 00-927 Warszawa

Druk i oprawa | Printed by
Partner Poligrafia Andrzej Kardasz
Grabówka, ul. Szosa Baranowicka 77
15-523 Białystok



Pamięci Profesor Teresy Dąbrowskiej
In memory of Professor Teresa Dąbrowska

Spis treści | Contents

1. Wstęp Preface	9
2. Historia badań na stanowisku i w rejonie miejscowości Dąbek History of the research at the site and in the area of the village of Dąbek.	17
3. Katalog znalezisk Catalogue of finds	29
3.1. Uwagi wstępne Introduction	29
3.2. Katalog Catalogue	35
4. Analiza zabytków Analysis of artefacts	81
4.1. Zapinki Brooches	81
4.2. Szpila kościana Bone pin	125
4.3. Klamry pasa Belt hooks	126
4.4. Sprzączki i okucia pasa Belt buckles and fittings	139
4.5. Kółka żelazne Iron rings	143
4.6. Paciorki szklane Glass beads	145
4.7. Wisioriki bursztynowe Amber pendants	148
4.8. Tkanina Fabric	148
4.9. Noże proste Straight knives	149
4.10. Nożyki sierpikowate Crescent-shaped knives	149
4.11. Szydła Awls	154
4.12. Igły Needles	155
4.13. Szpile hakowe Hook-pins	155
4.14. Przędliki Spindle whorls	156
4.15. Gładziki kamienne Stone polishers	156
4.16. Grzebienie Combs	157
4.17. Elementy kasetki Casket elements	157
4.18. Ostroga Spur	158
4.19. Mosiężne naczynko lub pokrywka Brass vessel or lid	161
4.20. Inne zabytki metalowe Other metal artefacts	165
4.21. Naczynia gliniane Pottery	165

5. Charakterystyka obiektów i obrządku pogrzebowego Characteristics of the features and the burial rite.	189
6. Chronologia stanowiska Chronology of the site	201
7. Charakterystyka cmentarzyska i interpretacje Characteristics of the cemetery and interpretations	205
7.1. Uwarunkowania krajobrazowe Landscape conditions	205
7.2. Cmentarzysko w Dąbku na tle osadnictwa w regionie The Dąbek cemetery against the background of local settlement	208
7.3. Uwagi na temat stroju Remarks on the outfit	218
8. Zakończenie Conclusion	229
9. Bibliografia Bibliography	235
10. Wykaz nazw miejscowych polskich List of place names in Poland	263
11. Wykaz skrótów Abbreviations	265
12. Listy zabytków Lists of finds	267
Lista 1. Zapinki typu Gebhard 19d List 1. Brooches of Gebhard type 19d	267
Lista 2. Zapinki typu F i formy zbliżone List 2. Brooches of type F and similar forms	275
Lista 3. Zapinki grupy A.II/IV, 3. serii List 3. Brooches of group A.II/IV, 3 rd series.	279
Lista 4. Klamry prętowe typu IIa i formy zbliżone List 4. Rod belt hooks of type IIa and similar forms	284
Lista 5. Misy i czarki na pustej od środka nóżce List 5. Bowls and cups with hollow foot.	287
13. Aneksy Appendices	291
Aneks 1. Materiały wczesnośredniowieczne Appendix 1. Early medieval material (<i>M. Dzik</i>)	293
Aneks 2. Analiza antropologiczna kości ludzkich Appendix 2. Anthropological analysis of human bones (<i>Ł.M. Stanaszek</i>)	303
Aneks 3. Analiza szczątków zwierzęcych Appendix 3. Analysis of animal remains (<i>A. Gręzak, T. Tomek</i>)	333
Aneks 4.1. Analiza tkaniny lnianej z obiektu 3 Appendix 4.1. Analysis of the linen fabric from feature 3 (<i>J. Maik</i>)	339
Aneks 4.2. Analiza mikroskopowa tkaniny z lnianej z obiektu 3 Appendix 4.2. Microscopic analysis of the linen fabric from feature 3 (<i>J. Pannenko</i>)	341
Aneks 5. Analiza metaloznawcza fragmentu mosiężnego naczynia z obiektu 26 Appendix 5. Metallographic analysis of a brass vessel fragment from feature 26 (<i>A. Towarek</i>)	345
14. Mapy, Plany, Tablice Maps, Plans, Plates	351
Autorzy Authors	399

Aneks 4.2

Iwona Pannenko

Analiza mikroskopowa tkaniny lnianej z obiektu 3

Próbkę stanowią drobiny gleby oraz drobne fragmenty nitek pokryte zielonymi i białymi produktami korozji (Ryc. 1). Próbka bardzo krucha, z tendencją do rozpadań. Materiał oglądano i dokumentowano przy użyciu mikroskopu stereoskopowego Nikon SMZ1500, mikroskopu ze światłem przechodzącym Nikon Eclipse E200 oraz programu komputerowego do analizy obrazu Lucia. Materiał do badań cytologicznych przygotowano mocząc fragmenty przędzy w 2% wodnym roztworze wersenianu dwusodowego, co umożliwiło usunięcie produktów korozji osadzonych na przędzy tkaniny (Ryc. 2:A)

Rozpuszczające się osady korozyjne wypłukano wodą destylowaną. Oczyszczone, wyizolowane włókna elementarne nitek próbki analizowano w świetle przechodzącym przy powiększeniach do 600×.

Wyniki badań

Włókno: len (można brać pod uwagę konopie)

Splot: płócienny (Ryc. 1:B)

Skręt osnowy i wątku: ZZ, prawy (Ryc. 1:B,C)

Grubość nitek trudna do precyzyjnego określenia ze względu na powstałe zmiany. Wykonane pomiary wskazują na wartości w zakresie: 0,42–0,54 mm.

Analiza cytologiczna wyizolowanych z nitki włókien elementarnych wykazała obecność na włóknach zgrubień w postaci kolanek, przesunięć, które są charakterystyczną cechą identyfikacyjną dla włókien elementarnych lnu i konopi (Ryc. 3). Zbyt mała próbka nie pozwoliła na rozszerzenie badań cytochemicznych,

Appendix 4.2

Iwona Pannenko

Microscopic analysis of the linen fabric from feature 3

The sample consisted of soil particles and small thread fragments covered with green and white corrosion products (Fig. 1). The sample was very brittle, with a tendency to disintegrate. The material was viewed and documented using a Nikon SMZ1500 stereoscopic microscope, Nikon Eclipse E200 transmitted-light microscope, and Lucia image analysis software. The material was prepared for cytological tests by soaking the yarn fragments in a 2% aqueous solution of disodium edetate, which made it possible to remove corrosion products deposited on the fabric yarn (Fig. 2:A)

Dissolved corrosion residues were removed by rinsing with distilled water. Cleaned, isolated elementary fibres of the sample threads were analysed by transmitted-light microscope at magnifications up to 600×.

Analysis results

Fibre: flax (hemp may be considered)

Weave: tabby (Fig. 1:B)

Warp and weft twist: ZZ, right (Fig. 1:B,C)

The thickness of the thread is difficult to precisely determine due to the changes that have occurred. The measured thickness was in the range of 0.42–0.54 mm.

The cytological analysis of elementary fibres isolated from the thread showed the presence of thickenings in the form of nodes and dislocations, which are a characteristic feature of flax and hemp elementary fibres (Fig. 3). The sample was too small to allow cytochemical tests, which would confirm or exclude the presence

aby móc wykluczyć lub potwierdzić obecność konopi. Stan zachowania włókien elementarnych jest zróżnicowany – widoczne są wżery w powierzchni zewnętrznej włókna i pęknięcia w miejscach kolanek (Ryc. 3:B,C).

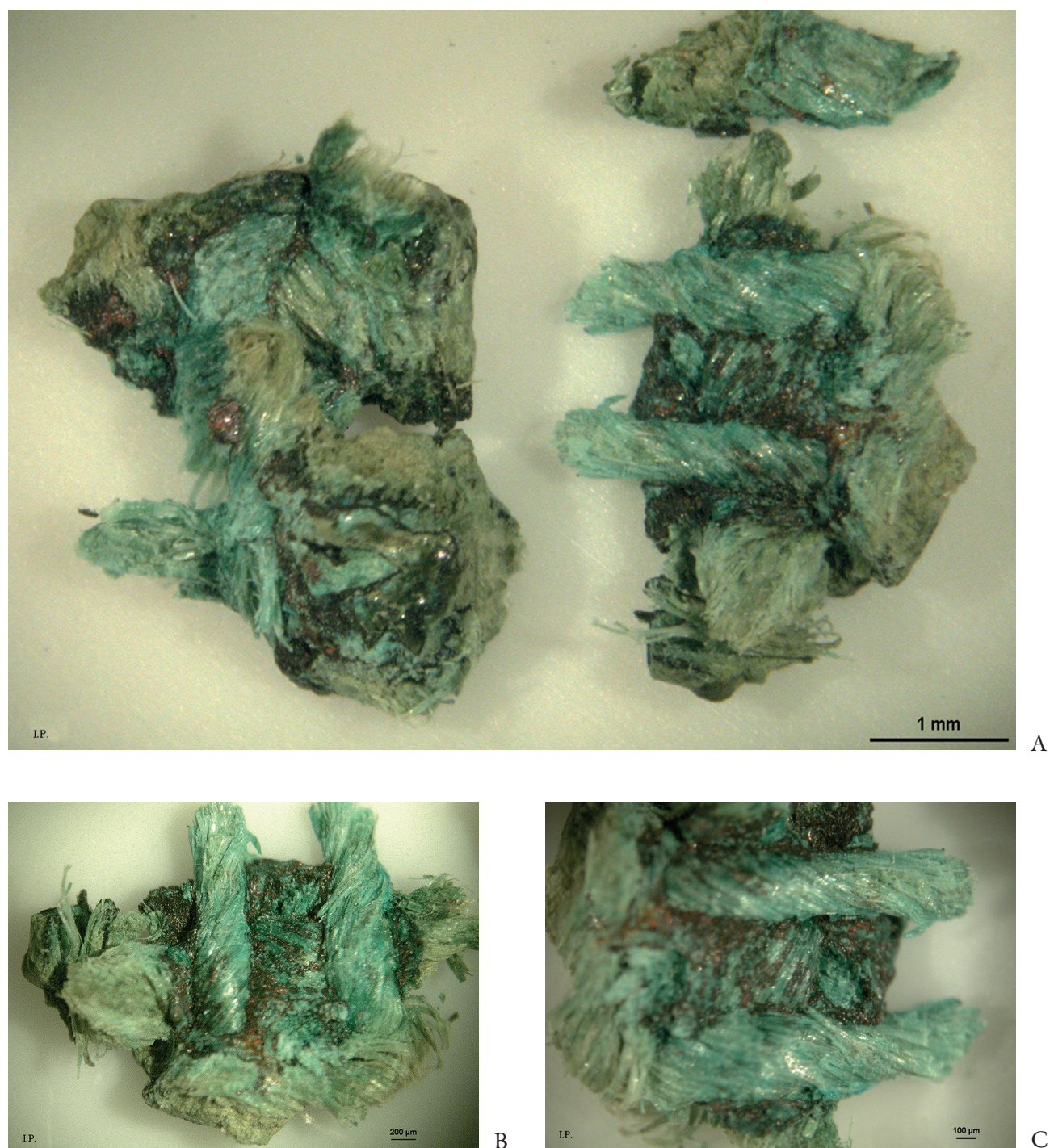
Grubość włókna elementarnego wynosi 25,8 μm (wartość obliczona z pomiarów trzech włókien elementarnych o zbliżonej szerokości).

W analizowanej próbce widoczna jest częściowo rozklejona wiązka włókien elementarnych lnu z dobrze zachowaną walcową budową włókien (Ryc. 2:B); zaobserwować można też kolanko i schodki, czyli charakterystyczne dla włókien lnu zgrubienia, które osłabiają wartość techniczną przędzy – w miejscach tych zgrubień włókna łatwo pękają (Ryc. 3:A,C). Analizowane włókna elementarne posiadają małą ilość kolanek, co świadczy o dobrej jakości przędzy lnu wykorzystanej do wytworzenia tkaniny (Ryc. 2:B).

of hemp. The state of preservation of elementary fibres varied, with visible pitting of the outer surface of the fibre and cracks at the nodes (Fig. 3:B,C).

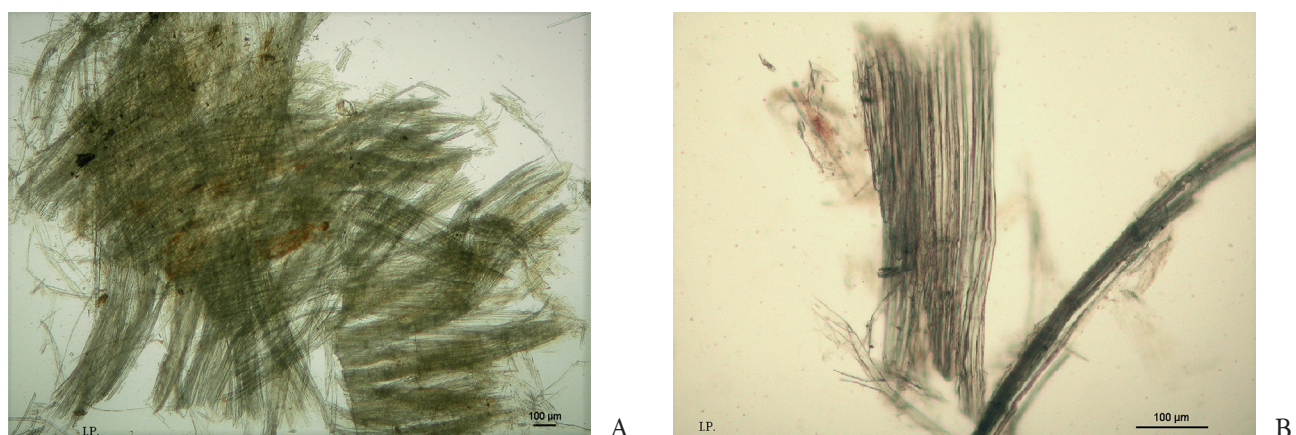
The thickness of the elementary fibre was 25.8 μm (calculated from the measurements of three elementary fibres of similar width).

The sample analysed showed a partially unbound flax elementary fibre bundle with a well-preserved cylindrical fibre structure (Fig. 2:B). The observed node and kink bands were characteristic of the flax fibres. They weaken the technical value of the yarn, as fibres easily break in places where those thickenings occur (Fig. 3:A,C). The elementary fibres analysed had a small number of nodes, which indicates the good quality of the linen yarn used to make the fabric (Fig. 2:B).



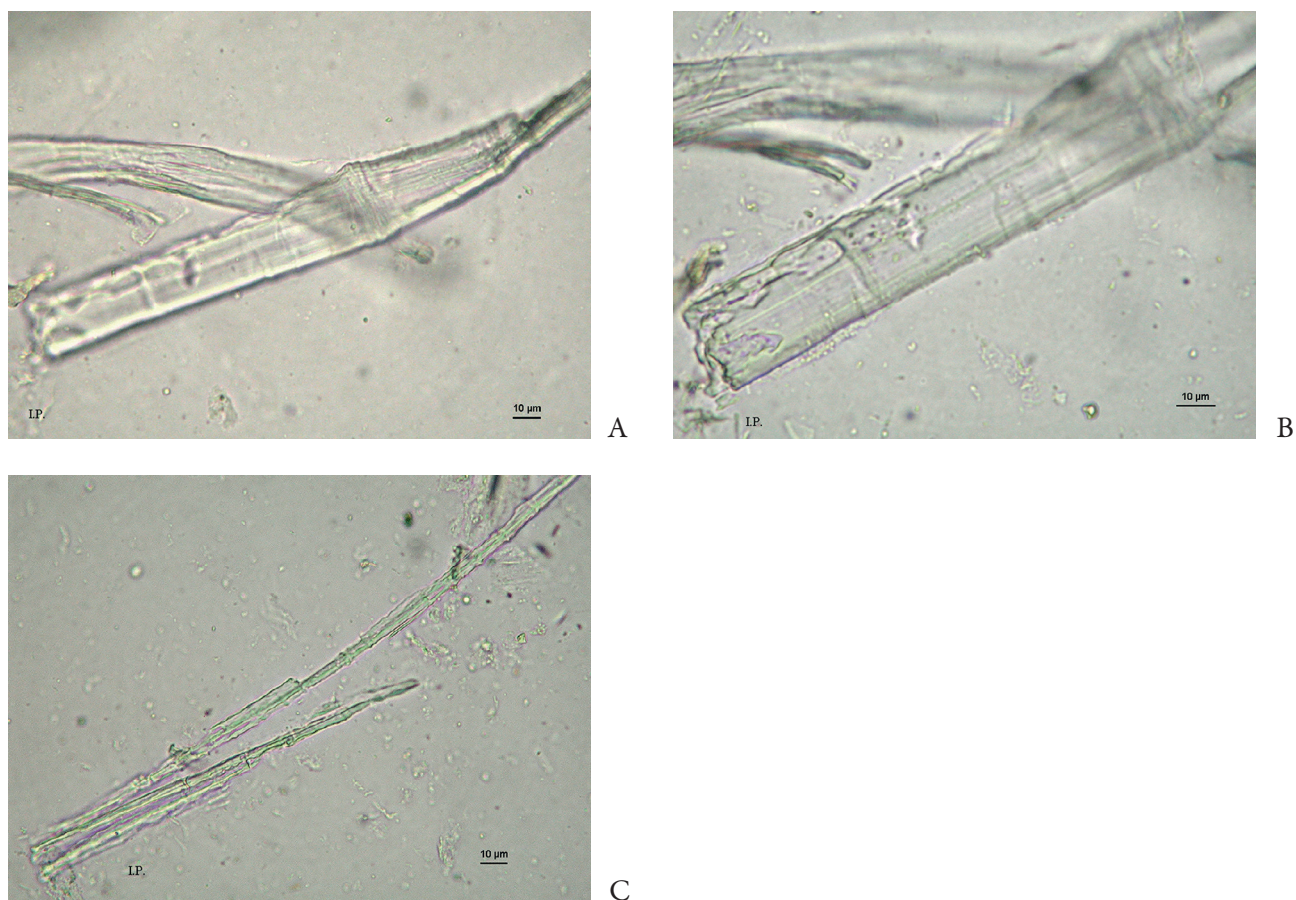
Ryc. 1. Próbkki z fragmentami tkaniny (A), z widocznym splotem płóciennym (B) oraz nitkami wątku i osnowy w skręćie Z (B, C). Materiał oglądany w mikroskopie stereoskopowym ze światłem odbitym (fot. I. Pannenko)

Fig. 1. Images of samples with fabric fragments (A), with tabby weave (B), and Z-twisted weft and warp threads (B, C). The material viewed under a reflected-light stereoscopic microscope (photo by I. Pannenko)



Ryc. 2. Preparaty mikroskopowe wykonane z próbki nitki po kąpeli w 2% wodnym roztworze wersenianu dwusodowego, oczyszczonej z osadów mineralnych i produktów korozji (A). Widoczna częściowo rozklejona wiązka włókien elementarnych lnu (B) z dobrze zachowaną walcową budową włókien. Włókna elementarne z małą ilością kolanek, co świadczy o dobrej jakości technicznej przędzy lnu. Materiał oglądany w wodzie destylowanej w mikroskopie ze światłem przechodzącym (fot. I. Pannenko)

Fig. 2. Microscopic specimens were prepared from the thread sample after bathing it in a 2% aqueous solution of disodium edetate and cleaned of mineral residue and corrosion products (A). A partially unbound flax elementary fibre bundle (B) with a well-preserved cylindrical fibre structure is visible. Elementary fibres with a small number of nodes indicate the good technical quality of the linen yarn. The material viewed in distilled water under a transmitted-light microscope (photo by I. Pannenko)



Ryc. 3. Fragmenty włókien elementarnych z przędzy lnianej tkaniny. Widoczne kolanko i schodki (A), uszkodzenia, wżery w powierzchni zewnętrznej włókna (B) oraz resztki zielonych osadów korozyjnych i pęknięcia w miejscach kolanek (C). Materiał oglądany w wodzie destylowanej, w mikroskopie ze światłem przechodzącym (fot. I. Pannenko)

Fig. 3. Fragments of elementary fibres of the linen yarn of the fabric. Visible are node and kink bands (A), damage, pitting of the outer surface of the fibre (B), and the remains of green corrosion products and cracks at the nodes (C). The material viewed in distilled water under a transmitted-light microscope (photo by I. Pannenko).

Autorzy | Authors

dr Anna Mistewicz
Muzeum Narodowe w Warszawie
email: amistewicz@mnw.art.pl
<https://orcid.org/0000-0002-4216-1799>

dr Andrzej Maciałowicz
Wydział Archeologii
Uniwersytet Warszawski
email: amacialowicz@uw.edu.pl
<https://orcid.org/0000-0003-0848-4655>

mgr Marcin Woźniak
Muzeum Starożytnego Hutnictwa Mazowieckiego
im S. Woydy w Pruszkowie
email: marcin.wozniak@yahoo.pl
<https://orcid.org/0000-0003-0488-8935>

dr Michał Dzik
Instytut Archeologii
Uniwersytet Rzeszowski
email: mdzik@ur.edu.pl
<https://orcid.org/0000-0003-1584-4452>

dr Łukasz Maurycy Stanaszek
Państwowe Muzeum Archeologiczne w Warszawie
email: stanaszek@pma.pl
<https://orcid.org/0000-0003-2743-2922>

dr Anna Gręzak
Wydział Archeologii
Uniwersytet Warszawski
email: abgrezak@uw.edu.pl
<https://orcid.org/0000-0002-6178-3577>

dr hab. Teresa Tomek
Instytut Systematyki i Ewolucji Zwierząt
Polska Akademia Nauk
email: toteresa@gmail.com
<https://orcid.org/0000-0002-8278-3031>

prof. dr hab. Jerzy Maik
Instytut Archeologii i Etnologii
Polska Akademia Nauk
email: jotem4@wp.pl
<https://orcid.org/0000-0001-7655-8068>

mgr Iwona Pannenko
Muzeum Narodowe w Warszawie
(do 2007 r. / until 2007)
email: iwpan@o2.pl

dr inż. Aleksandra Towarek
Wydział Inżynierii Materiałowej
Politechnika Warszawska
email: aleksandra.towarek.dokt@pw.edu.pl
<https://orcid.org/0000-0001-7086-7513>